

PACS: 71.70.-d, 75.10.Dq, 75.30.Et, 76.30.-v

В.В. Шаповалов¹, В.А. Шаповалов², В.И. Вальков², В.Г. Шавров³,
В.В. Коледов³, Ю.А. Службин², О.Н. Потапская²

САМООРГАНИЗАЦИЯ МОНОКРИСТАЛЛА ШПИНЕЛИ $\text{Li}_{0.5}\text{Ga}_{2.5}\text{O}_4$ И РАСПРЕДЕЛЕНИЕ В НЕМ $3d^3$ -ИОНОВ ХРОМА

¹Организация «Математика для Америки», Нью Йорк, США

²Донецкий физико-технический институт им. А.А. Галкина

³Институт радиотехники и электроники им. А.А. Котельникова РАН, Москва, Россия

Статья поступила в редакцию 18 февраля 2020 года

Показаны самоорганизация в элементарной ячейке 12 структурно- и магнитно-неэквивалентных положений и самораспределение магнитных ионов хрома по этим положениям соответственно минимумам потенциала кристаллического поля в монокристалле литий-галлиевой шпинели $\text{Li}_{0.5}\text{Ga}_{2.5}\text{O}_4$. Обнаружено, что магнитно-неэквивалентные положения магнитного иона проявляются в спектрах электронного парамагнитного резонанса (ЭПР).

Ключевые слова: электронный парамагнитный резонанс, монокристалл шпинели, комплексы с магнитными ионами

Введение

В настоящее время ведется активное изучение шпинелей, обусловленное широкими возможностями их научного и технологического применения [1–7]. В работе [7] исследована структура нормальной шпинели ZnCr_2O_4 , которая в большинстве случаев имеет преимущественно кубическую симметрию. Авторами отмечено, что основные свойства данной шпинели определяются локальной структурой и катионным распределением ионов Zn^{2+} и Cr^{3+} .

За счет поля кубической симметрии и происходит расщепление орбитальных уровней. Дополнительное расщепление, вызванное членами более низкой симметрии, значительно меньше. Основными орбитальными состояниями ионов группы железа являются либо состояния F , либо состояния D . В кристаллическом поле кубической симметрии F -состояние расщепляется на синглет и два триплета. Необходимо отметить, что величина и знак констант гамильтониана для определенного кристаллического потенциала зависят от конкретной конфигурации, т.е. константы отличаются по величине и знаку для конфигураций d^2 , d^3 , d^7 и d^8 , каждая из которых имеет основной терм с $L = 3$. Самораспределение магнитных зондов по положениям в монокристалле литий-галлиевой шпинели зависит от электронной конфигурации ионов.

Для изучения комплексов в монокристалле $\text{Li}_{0.5}\text{Ga}_{2.5}\text{O}_4$ с ионом хрома применяется один из наиболее информативных методов исследования электронной структуры соединений с точечными примесями – метод ЭПР [8].

Цель данной работы – исследовать самоорганизацию монокристалла шпинели $\text{Li}_{0.5}\text{Ga}_{2.5}\text{O}_4$ и распределение в нем магнитных $3d^3$ -ионов хрома, а также показать природу многомимумности потенциала кристаллического поля в монокристаллах, что является решающим для самораспределения магнитных ионов хрома и свойств материалов.

1. Материал и методика исследования

Материал исследования – трехвалентный хром с электронной конфигурацией $3d^3$ в монокристалле $\text{Li}_{0.5}\text{Ga}_{2.5}\text{O}_4$. Данная электронная конфигурация обеспечивает максимально возможное самораспределение $3d^3$ -ионов хрома по структурно- и магнитно-неэквивалентным положениям в элементарной ячейке и составляет 12 положений.

Так как $L = 3$, а $S = 3/2$, основным спектроскопическим состоянием является ${}^4F_{9/2}$. Оно имеет семикратное орбитальное вырождение ($2L + 1 = 7$), каждое из которых четырехкратно вырождено по спину. Кубическое поле октаэдрической симметрии снимает орбитальное вырождение, и уровень ${}^4F_{9/2}$ расщепляется на низший синглет и два лежащих выше триплета. При воздействии кристаллических полей с симметрией ниже кубической и спин-орбитальной связи четырехкратное спиновое вырождение снимается, и образуются два крамерсовых дублета, которые во внешнем магнитном поле расщепляются и с увеличением поля в случае аксиальной симметрии линейно расходятся. Так как нижним уровнем энергии является орбитальный синглет, а расстояние до вышележащего триплетного уровня достаточно велико ($\sim 10^4 \text{ cm}^{-1}$), то спектр наблюдается при довольно высоких температурах, а анизотропия фактора спектроскопического расщепления невелика.

2. Результаты экспериментальных исследований

Исследования по обнаружению и изучению спектров ЭПР ионов Cr^{3+} в монокристаллах литий-галлиевой шпинели $\text{Li}_{0.5}\text{Ga}_{2.5}\text{O}_4$ проводили в интервале температур от гелиевых (4.2 К) до комнатных (300 К). Концентрация хрома составляла 0.1 wt%. Угловую зависимость положения линий спектра ЭПР иона Cr^{3+} снимали в плоскостях $\{110\}$, $\{111\}$ и др. В общем случае наблюдали спектр, состоящий из 36 линий. Изучение угловых зависимостей позволило интерпретировать эти линии как тонкую структуру спектра ЭПР от 12 магнитно-неэквивалентных положений ионов Cr^{3+} в элементарной ячейке литий-галлиевой шпинели и описать каждый ион спин-гамильтонианом ромбической симметрии:

$$H = \frac{1}{3}b_2^0O_2^0 + \frac{1}{3}b_2^2O + \beta(g_xH_xS_x + g_yH_yS_y + g_zH_zS_z). \quad (1)$$

Поскольку

$$b_2^0 = D, \quad b_2^2 = 3E, \quad (2)$$

а также ввиду того, что операторы

$$O_2^0 = 3S_z^2 - S(S+1),$$

$$O_2^2 = \frac{1}{2}(S_+^2 + S_-^2) = \frac{1}{2}[(S_x + iS_y)^2 + (S_x - iS_y)^2] = S_x^2 - S_y^2, \quad (3)$$

спин-гамильтониан можно записать в виде

$$\hat{H} = \beta(g_x H_x \hat{S}_x + g_y H_y \hat{S}_y + g_z H_z \hat{S}_z) + D\left(\hat{S}_z^2 - \frac{5}{4}\right) + E(\hat{S}_x^2 - \hat{S}_y^2). \quad (4)$$

Магнитная ось z была выбрана вблизи направления $\langle 111 \rangle$, x – вблизи направления $\langle 110 \rangle$, y – вблизи направления $\langle 112 \rangle$.

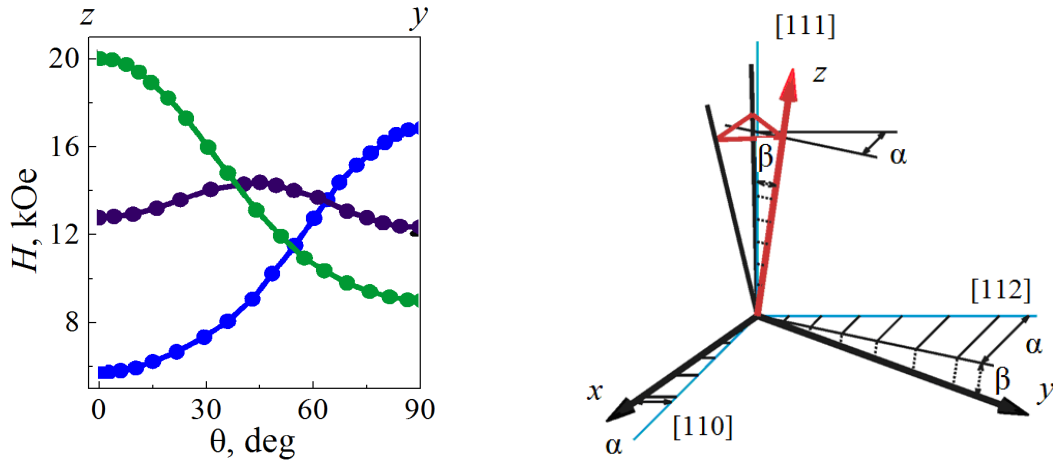


Рис. 1. Угловая зависимость спектра ЭПР иона Cr^{3+} со спином $S = 3/2$ в $\text{Li}_{0.5}\text{Ga}_{2.5}\text{O}_4$ в плоскости $\{z-y\}$ для одной позиции при $T = 290$ К, $\nu = 36200$ МГц

Рис. 2. Расположение магнитных осей x, y, z иона Cr^{3+} в $\text{Li}_{0.5}\text{Ga}_{2.5}\text{O}_4$ относительно кристаллографических осей типа $[111], [110], [112]$

На рис. 1 показана угловая зависимость спектра ЭПР иона Cr^{3+} в $\text{Li}_{0.5}\text{Ga}_{2.5}\text{O}_4$ в плоскости $\{z-y\}$ для одной позиции при $T = 290$ К. Тонкая структура спектра ЭПР состоит из трех линий согласно спину $S = 3/2$. Две линии (высоко- и низкополевая) являются анизотропными и в случае немонокристаллических соединений усредняются и не наблюдаются. Как видно из рис. 2, оси z трех положений центра Cr^{3+} близки к направлению $[111]$ и симметрично отклонены от него на угол $\beta = 5 \pm 1^\circ$. Отклонены и магнитные оси x и y от близлежащих кристаллографических осей $[110]$ и $[112]$. Все три магнитные оси развернуты в плоскости $\{111\}$ на угол $\alpha = 4 \pm 1^\circ$. Ось y отклонена от плоскости $\{111\}$ на угол $\beta = 5 \pm 1^\circ$.

Для нахождения энергетических уровней составим матрицу спин-гамильтониана. При $H_0 \parallel z$ для $S = 3/2$ можно записать матрицу энергии спинового гамильтониана (1) четвертого порядка [9]:

$$\begin{vmatrix} M_s & 3/2 & 1/2 & -1/2 & -3/2 \\ 3/2 & D + \frac{3}{2}g_z\beta H - W & 0 & \sqrt{3}E & 0 \\ 1/2 & 0 & -D + \frac{1}{2}g_z\beta H - W & 0 & \sqrt{3}E \\ -1/2 & \sqrt{3}E & 0 & -D - \frac{1}{2}g_z\beta H - W & 0 \\ -3/2 & 0 & \sqrt{3}E & 0 & D - \frac{3}{2}g_z\beta H - W \end{vmatrix}. \quad (5)$$

Матрица (5) распадается на две идентичные матрицы:

$$\begin{vmatrix} M & 1/2 & -3/2 \\ 1/2 & -D + \frac{1}{2}g_z\beta H - W & \sqrt{3}E \\ -3/2 & \sqrt{3}E & D - \frac{3}{2}g_z\beta H - W \end{vmatrix}, \quad (6a)$$

$$\begin{vmatrix} M_s & 3/2 & -1/2 \\ 3/2 & D + \frac{3}{2}g_z\beta H - W & \sqrt{3}E \\ -1/2 & \sqrt{3}E & -D - \frac{1}{2}g_z\beta H - W \end{vmatrix}. \quad (6b)$$

Отсюда получаем выражения для уровней энергии:

$$\begin{aligned} W_{3/2,-1/2} &= \frac{1}{2}g_z\beta H \pm \left[(D + g_z\beta H)^2 + 3E^2 \right]^{1/2}, \\ W_{1/2,-3/2} &= -\frac{1}{2}g_z\beta H \pm \left[(D - g_z\beta H)^2 + 3E^2 \right]^{1/2}. \end{aligned} \quad (7)$$

Разности энергии для наблюдаемых переходов тонкой структуры с правилом отбора $\Delta M = \pm 1$ следующие:

$$\begin{aligned} h\nu = W_{3/2} - W_{1/2} &= g_z\beta H + \left[(D + g_z\beta H)^2 + 3E^2 \right]^{1/2} - \left[(D - g_z\beta H)^2 + 3E^2 \right]^{1/2}, \\ h\nu = W_{1/2} - W_{-1/2} &= -g_z\beta H + \left[(D + g_z\beta H)^2 + 3E^2 \right]^{1/2} + \left[(D - g_z\beta H)^2 + 3E^2 \right]^{1/2}, \\ h\nu = W_{-1/2} - W_{-3/2} &= g_z\beta H - \left[(D + g_z\beta H)^2 + 3E^2 \right]^{1/2} + \left[(D - g_z\beta H)^2 + 3E^2 \right]^{1/2}. \end{aligned} \quad (8)$$

Выражая (8) в единицах $g\beta$, т.е. все величины в единицах магнитного поля, получим

$$\begin{aligned} H_0 &= H_1 + \left[(D + H_1)^2 + 3E^2 \right]^{1/2} - \left[(D - H_1)^2 + 3E^2 \right]^{1/2}, \\ H_0 &= -H_2 + \left[(D + H_2)^2 + 3E^2 \right]^{1/2} + \left[(D - H_1)^2 + 3E^2 \right]^{1/2}, \\ H_0 &= H_1 + \left[(D + H_1)^2 + 3E^2 \right]^{1/2} + \left[(D - H_1)^2 + 3E^2 \right]^{1/2}. \end{aligned} \quad (9)$$

Для определения уровней в x - и y -ориентациях вместо составления новых более сложных матриц для $H_0 \parallel x$ и $H_0 \parallel y$ и решения этих матриц необходимо воспользоваться приемом преобразования констант [9,10]:

$$D[S_x^2 - \frac{1}{3}S(S+1)] + E(S_x^2 - S_y^2)^2 \equiv D_x S_x^2 + D_y S_y^2 + D_z S_z^2.$$

Примем $S(S+1) = S_x^2 + S$, тогда:

– для $H_0 \parallel x$

$$\begin{aligned} D(z) &\rightarrow -1/2(D-3E), \\ E(z) &\rightarrow -1/2(E+D); \end{aligned} \quad (10a)$$

– для $H_0 \parallel y$

$$\begin{aligned} D(z) &\rightarrow -1/2(D+3E), \\ E(z) &\rightarrow -1/2(E-D). \end{aligned} \quad (10б)$$

Уровни энергии для $H_0 \parallel x$ будут следующие:

$$\begin{aligned} W_{3/2,-1/2} &= \frac{1}{2} g_x \beta H \pm \left\{ \left[\frac{1}{2}(3E-D) + g_x \beta H \right]^2 + \frac{3}{4}(D+E)^2 \right\}^{1/2}, \\ W_{1/2,-3/2} &= -\frac{1}{2} g_x \beta H \pm \left\{ \left[\frac{1}{2}(3E-D) - g_x \beta H \right]^2 + \frac{3}{4}(D+E)^2 \right\}^{1/2}. \end{aligned} \quad (11)$$

Упрощая выражения (11), можно получить

$$\begin{aligned} W_{3/2,-1/2} &= \frac{1}{2} g_x \beta H \pm \left[g_x^2 \beta^2 H^2 + D^2 + 3E - g_x \beta H (D-3E) \right]^{1/2}, \\ W_{1/2,-3/2} &= -\frac{1}{2} g_x \beta H \pm \left[g_x^2 \beta^2 H^2 + D^2 + 3E + g_x \beta H (D-3E) \right]^{1/2}. \end{aligned} \quad (12)$$

Разности энергий (12) имеют вид

$$\begin{aligned} W_{3/2} - W_{1/2} &= g_x \beta H + \left[g_x^2 \beta^2 H^2 + D^2 + 3E^2 - g_x \beta H (D-3E) \right]^{1/2} + \\ &+ \left[g_x^2 \beta^2 H^2 + D^2 + 3E^2 + g_x \beta H (D-3E) \right]^{1/2}, \end{aligned}$$

$$\begin{aligned}
 W_{1/2} - W_{-1/2} &= -g_x \beta H + \left[g_x^2 \beta^2 H^2 + D^2 + 3E^2 + g_x \beta H (D - 3E) \right]^{1/2} + \\
 &+ \left[g_x^2 \beta^2 H^2 + D^2 + 3E^2 - g_x \beta H (D - 3E) \right]^{1/2}, \\
 W_{-1/2} - W_{-3/2} &= g_x \beta H - \left[g_x^2 \beta^2 H^2 + D^2 + 3E^2 - g_x \beta H (D - 3E) \right]^{1/2} + \\
 &+ \left[g_x^2 \beta^2 H^2 + D^2 + 3E^2 + g_x \beta H (D - 3E) \right]^{1/2}.
 \end{aligned} \tag{13}$$

Выражая уравнения (13) в единицах магнитного поля, получаем:

$$\begin{aligned}
 H_0 &= H_1 + \left[H_1^2 + D^2 + 3E^2 - H_1 (D - 3E) \right]^{1/2} + \left[H_1^2 + D^2 + 3E^2 + H_1 (D - 3E) \right]^{1/2}, \\
 H_0 &= -H_2 + \left[H_2^2 + D^2 + 3E^2 + H_2 (D - 3E) \right]^{1/2} + \left[H_2^2 + D^2 + 3E^2 - H_2 (D - 3E) \right]^{1/2}, \\
 H_0 &= H_3 - \left[H_3^2 + D^2 + 3E^2 - H_3 (D - 3E) \right]^{1/2} + \left[H_3^2 + D^2 + 3E^2 + H_3 (D - 3E) \right]^{1/2}.
 \end{aligned} \tag{14}$$

Отсюда находим уровни энергии для $H_0 \parallel y$:

$$\begin{aligned}
 W_{3/2, -1/2} &= \frac{1}{2} g_y \beta H \pm \left[g_y^2 \beta^2 H^2 + D^2 + 3E - g_y \beta H (D + 3E) \right]^{1/2}, \\
 W_{1/2, -3/2} &= -\frac{1}{2} g_y \beta H \pm \left[g_y^2 \beta^2 H^2 + D^2 + 3E + g_y \beta H (D + 3E) \right]^{1/2}.
 \end{aligned} \tag{15}$$

Разности энергий (15) запишем в виде

$$\begin{aligned}
 W_{3/2} - W_{1/2} &= g_y \beta H + \left[g_y^2 \beta^2 H^2 + D^2 + 3E^2 - g_y \beta H (D + 3E) \right]^{1/2} - \\
 &- \left[g_y^2 \beta^2 H^2 + D^2 + 3E^2 + g_y \beta H (D + 3E) \right]^{1/2}, \\
 W_{1/2} - W_{-1/2} &= -g_y \beta H + \left[g_y^2 \beta^2 H^2 + D^2 + 3E^2 + g_y \beta H (D + 3E) \right]^{1/2} + \\
 &+ \left[g_x^2 \beta^2 H^2 + D^2 + 3E^2 - g_x \beta H (D - 3E) \right]^{1/2}, \\
 W_{-1/2} - W_{-3/2} &= g_y \beta H - \left[g_y^2 \beta^2 H^2 + D^2 + 3E^2 - g_y \beta H (D + 3E) \right]^{1/2} + \\
 &+ \left[g_y^2 \beta^2 H^2 + D^2 + 3E^2 + g_y \beta H (D - 3E) \right]^{1/2}.
 \end{aligned} \tag{16}$$

Выражая уравнения (16) в единицах магнитного поля, получаем:

$$\begin{aligned}
 H_0 &= H_1 + \left[H_1^2 + D^2 + 3E^2 - H_1 (D + 3E) \right]^{1/2} - \left[H_1^2 + D^2 + 3E^2 + H_1 (D + 3E) \right]^{1/2}, \\
 H_0 &= -H_2 + \left[H_2^2 + D^2 + 3E^2 + H_2 (D + 3E) \right]^{1/2} + \left[H_2^2 + D^2 + 3E^2 - H_2 (D + 3E) \right]^{1/2}, \\
 H_0 &= H_3 - \left[H_3^2 + D^2 + 3E^2 - H_3 (D + 3E) \right]^{1/2} + \left[H_3^2 + D^2 + 3E^2 + H_3 (D + 3E) \right]^{1/2}.
 \end{aligned} \tag{17}$$

Далее находим величину начального расщепления уровней энергии. Матрица энергии расщепления уровней в нулевом магнитном поле имеет вид

$$\begin{vmatrix} D & 0 & \sqrt{3} & 0 \\ 0 & -D & 0 & \sqrt{3}E \\ \sqrt{3}E & 0 & -D & 0 \\ 0 & \sqrt{3}E & 0 & D \end{vmatrix}. \quad (18)$$

Она распадается на две идентичные матрицы:

$$\begin{vmatrix} D & \sqrt{3}E \\ \sqrt{3}E & -D \end{vmatrix}. \quad (19)$$

Таким образом, в нулевом поле уровни энергии представляют собой крамерсовы дублеты

$$W = \pm \sqrt{D^2 + 3E^2}, \quad (20)$$

т.е. начальное расщепление энергетических уровней имеет вид

$$\delta = 2\sqrt{D^2 + 3E^2}. \quad (21)$$

В таблице приведены константы спин-гамильтониана, найденные по формулам (9), (14), (17), отношения констант E/D , значения начальных расщеплений δ и g -факторов. Из таблицы видно, что с понижением температуры происходит уменьшение аксиальной D и ромбической E констант спин-гамильтониана. В области гелиевых температур ромбическая константа E уменьшается медленнее, чем аксиальная D . Анизотропия g -фактора небольшая.

Найдем спиновые волновые функции. Собственные функции оператора \hat{H}_S могут быть представлены линейной комбинацией собственных функций оператора \hat{S}_Z :

$$\Psi_i = \sum C_{i,M} \Psi_M, \quad (22)$$

где M – магнитное квантовое число, $M = 3/2, 1/2, -1/2, -3/2$.

Для определения коэффициентов $C_{i,M}$ при условии нормировки функции Ψ_i :

$$\sum_M (C_{i,M})^2 = 1 \quad (23)$$

запишем систему линейных уравнений

$$\begin{cases} (H_{11} - W)C_{i,3/2} + H_{12}C_{i,1/2} + H_{13}C_{i,-1/2} + H_{14}C_{i,-3/2} = 0, \\ H_{21}C_{i,3/2} + (H_{22} - W)C_{i,1/2} + H_{23}C_{i,-1/2} + H_{24}C_{i,-3/2} = 0, \\ H_{31}C_{i,3/2} + H_{32}C_{i,1/2} + (H_{33} - W)C_{i,-1/2} + H_{34}C_{i,-3/2} = 0, \\ H_{41}C_{i,3/2} + H_{42}C_{i,1/2} + H_{43}C_{i,-1/2} + (H_{44} - W)C_{i,-3/2} = 0, \end{cases} \quad (24)$$

где H_{JM} – матричные элементы оператора \hat{H} .

Таблица

Аксиальная D и ромбическая E константы спин-гамильтониана, значения начальных расщеплений δ и g -факторов при разных температурах

Параметры	T, K		
	4.2	44	290
g_z	1.9831 ± 0.0005	1.9795 ± 0.0005	1.9796 ± 0.0005
$g_x \approx g_y$	1.9814 ± 0.0005	1.9809 ± 0.0005	1.9803 ± 0.0005
D, Hz	9.751 ± 0.005	9.757 ± 0.005	9.881 ± 0.005
E, Hz	0.447 ± 0.005	0.455 ± 0.005	0.515 ± 0.005
E/D	0.0458	0.0466	0.0521
δ, Hz	19.564	19.578	19.842

Введем обозначение $g_z \beta H = G$. Упростим уравнения (23), (24) и получим две системы уравнений:

$$\begin{cases} \left(D + \frac{3}{2}G - W \right) C_{i,3/2} + \sqrt{3}E C_{i,-1/2} = 0, \\ \sqrt{3}E C_{i,3/2} + \left(D + \frac{1}{2}G - W \right) C_{i,-1/2} = 0, \\ (C_{i,3/2})^2 + (C_{i,-1/2})^2 = 1; \end{cases} \quad (25)$$

$$\begin{cases} \left(-D + \frac{3}{2}G - W \right) C_{i,3/2} + \sqrt{3}E C_{i,-3/2} = 0, \\ \sqrt{3}E C_{i,1/2} + \left(D - \frac{3}{2}G - W \right) C_{i,-3/2} = 0, \\ (C_{i,1/2})^2 + (C_{i,-3/2})^2 = 1. \end{cases} \quad (26)$$

Найдем коэффициенты $C_{i,3/2}$ и $C_{i,-1/2}$:

$$C_{i,3/2} = \frac{D + \frac{1}{2}G + W}{\sqrt{3}E} C_{i,-1/2}. \quad (27)$$

Подставим выражение (27) в условие нормировки (25):

$$\left(\frac{D + \frac{1}{2}G + W}{\sqrt{3}E} + 1 \right) C_{i,-1/2}^2 = 1.$$

Отсюда

$$C_{i,-1/2} = \frac{1}{\left[\frac{\left(D + \frac{1}{2}G + W \right)^2 + 3E}{(\sqrt{3}E)^2} \right]^{1/2}} \quad (28)$$

или

$$C_{i,-1/2} = \frac{\sqrt{3}E}{\left[\left(D + \frac{1}{2}G + W \right)^2 + 3E^2 \right]^{1/2}}, \quad C_{i,3/2} = \frac{D + \frac{1}{2}G + W}{\left[\left(D + \frac{1}{2}G + W \right)^2 + 3E^2 \right]^{1/2}}. \quad (29)$$

Найдем коэффициенты $C_{i,1/2}$ и $C_{i,-3/2}$ из системы уравнений (26):

$$C_{i,1/2} = \frac{\sqrt{3}E}{D - \frac{1}{2}G + W} C_{i,-3/2}.$$

Подставим $C_{i,1/2}$ в условие нормировки (26):

$$\left[\frac{\sqrt{3}E}{\left(D + \frac{1}{2}G + W \right)^2} + 1 \right] C_{i,-3/2} = 1, \quad (30)$$

$$C_{i,-3/2} = \left[\frac{\sqrt{3}E}{\left(D - \frac{1}{2}G + W \right)^2} + 1 \right]^{-1}, \quad (31)$$

$$C_{i,1/2} = \left[\frac{\sqrt{3}E \left(-\frac{1}{2}G + W \right)}{(\sqrt{3}E)^2 + \left(D - \frac{1}{2}G + W \right)^2} + 1 \right]^{-1}.$$

Запишем собственные функции (22) уравнений энергии для $H_0 \parallel z$ в виде:

$$\begin{aligned} W_{3/2} &\rightarrow \Psi_1 = C_{1,3/2}\Psi_{3/2} + C_{1,-1/2}\Psi_{-1/2}, \\ W_{1/2} &\rightarrow \Psi_2 = C_{2,3/2}\Psi_{-3/2} + C_{2,1/2}\Psi_{1/2}, \\ W_{-1/2} &\rightarrow \Psi_3 = C_{3,3/2}\Psi_{3/2} + C_{3,-1/2}\Psi_{-1/2}, \\ W_{-3/2} &\rightarrow \Psi_4 = C_{4,1/2}\Psi_{1/2} + C_{4,-3/2}\Psi_{-3/2}. \end{aligned} \quad (32)$$

Подставим значения уровней энергии (32) в выражения для коэффициентов (28)–(31):

$$\begin{aligned}
 C_{1,3/2} &= \frac{D + \frac{1}{2}G + \left(\frac{1}{2}G + \sqrt{(D+G)^2 + 3E^2}\right)}{\left\{\left[D + \frac{1}{2}G + \left(\frac{1}{2}G + \sqrt{(D+G)^2 + 3E^2}\right)\right]^2 + 3E^2\right\}^{1/2}} = \\
 &= \frac{D + G + (D+G)^2 + 3E^2}{\left\{\left[D + G + \left((D+G)^2 + 3E^2\right)^{1/2}\right]^2 + 3E^2\right\}^{1/2}}, \\
 C_{1,-1/2} &= \frac{\sqrt{3E}}{\left\{\left[D + G - \sqrt{(D+G)^2 + 3E^2}\right]^2 + 3E^2\right\}^{1/2}}.
 \end{aligned} \tag{33}$$

Аналогичным образом получаем выражения для остальных коэффициентов: $C_{2,-3/2}$, $C_{2,1/2}$, $C_{3,3/2}$, $C_{3,-1/2}$, $C_{4,1/2}$, $C_{4,-3/2}$, которые можно упростить, применив преобразование $\operatorname{tg} 2\alpha = \frac{\sqrt{3}}{D+G}$. В этом случае

$$\begin{aligned}
 \sin \alpha &= \left[\frac{1}{2} \left(1 - \frac{1}{(1 + \operatorname{tg}^2 2\alpha)^{1/2}} \right) \right]^{1/2}, \\
 \cos \alpha &= \left[\frac{1}{2} \left(1 + \frac{1}{(1 + \operatorname{tg}^2 2\alpha)^{1/2}} \right) \right]^{1/2}.
 \end{aligned} \tag{34}$$

Тогда коэффициенты будут иметь вид:

$$\begin{aligned}
 C_{1,3/2} &= \cos \alpha, & C_{1,-1/2} &= \sin \alpha, \\
 C_{2,-3/2} &= \cos \alpha, & C_{2,1/2} &= \sin \alpha, \\
 C_{3,3/2} &= -\sin \alpha, & C_{3,-1/2} &= \cos \alpha, \\
 C_{4,1/2} &= \cos \alpha, & C_{4,-3/2} &= -\sin \alpha.
 \end{aligned} \tag{35}$$

Согласно (33) и (35) запишем волновые функции для каждого уровня энергии:

$$\begin{aligned}
 W_{3/2} &\rightarrow \psi_1 = \cos \alpha \psi_{3/2} + \sin \alpha \psi_{-1/2}, \\
 W_{-3/2} &\rightarrow \psi_2 = \cos \alpha \psi_{-3/2} + \sin \alpha \psi_{1/2}, \\
 W_{-1/2} &\rightarrow \psi_3 = -\sin \alpha \psi_{3/2} + \cos \alpha \psi_{-1/2}, \\
 W_{1/2} &\rightarrow \psi_4 = -\sin \alpha \psi_{-3/2} + \cos \alpha \psi_{1/2}.
 \end{aligned} \tag{36}$$

Рассчитаем вероятности переходов между уровнями энергий в случае, когда микроволновое магнитное поле направлено вдоль оси x . С учетом того, что

$\hat{S}_x = \frac{1}{2}(\hat{S}_+ + \hat{S}_-)$ [11], вероятность перехода $W_{-3/2} \leftrightarrow W_{-1/2}$ будет следующей:

$$\begin{aligned} \langle \psi_2 | g_x \beta H \hat{S}_x | \psi_3 \rangle &= \frac{1}{2} g_x \beta H \left\langle \cos \alpha \left| -\frac{3}{2} \right\rangle + \sin \alpha \left| \frac{1}{2} \right\rangle \left| \hat{S}_x + \hat{S}_- \right| \sin \alpha \left| \frac{3}{2} \right\rangle + \cos \alpha \left| -\frac{1}{2} \right\rangle \right\rangle = \\ &= \frac{1}{2} g_x \beta H \left\langle \cos \alpha \left| -\frac{3}{2} \right\rangle + \sin \alpha \left| \frac{1}{2} \right\rangle \left| 2 \cos \alpha \left| \frac{1}{2} \right\rangle - \sqrt{3} \sin \alpha \left| \frac{1}{2} \right\rangle + \sqrt{3} \cos \alpha \left| -\frac{3}{2} \right\rangle \right\rangle = \\ &= \frac{1}{2} g_x \beta H \left[\sin \alpha (2 \cos \alpha - \sqrt{3} \sin \alpha) + \sqrt{3} \cos^2 \alpha \right]. \end{aligned} \quad (37)$$

Интенсивность этого перехода

$$\begin{aligned} I_3 &= \frac{1}{4} (g_x \beta H)^2 \left[\sin \alpha (2 \cos \alpha - \sqrt{3} \sin \alpha) + \sqrt{3} \cos^2 \alpha \right]^2 = \\ &= \frac{1}{4} (g_x \beta H)^2 \sin^2 \alpha (2 \cos \alpha + \sqrt{3} \sin 2\alpha)^2. \end{aligned} \quad (38)$$

Расчет вероятностей и интенсивностей других переходов аналогичен. В случае выполнения условия сильного поля интенсивности переходов будут следующие:

– для $W_{-1/2} \leftrightarrow W_{1/2}$

$$I_2 = \frac{1}{4} (g_x \beta H)^2 (\cos \alpha - \sqrt{3} \cos \alpha \sin \alpha)^2, \quad (39)$$

– для $W_{1/2} \leftrightarrow W_{3/2}$

$$I_1 = \frac{1}{4} (g_x \beta H)^2 (\sin 2\alpha + \sqrt{3} \cos 2\alpha)^2. \quad (40)$$

В предельном случае сильного магнитного поля $\alpha \rightarrow 0$ и разрешены только эти три перехода, обуславливающие тонкую структуру спектра ЭПР иона Cr^{3+} с относительными интенсивностями 3:4:3. Результаты эксперимента, представленные в таблице, при $T = 290$ К дают хорошее совпадение с рассчитанными относительными интенсивностями.

Поскольку интенсивность линий пропорциональна разности населенностей соответствующих уровней, по различию температурной зависимости интенсивностей различных переходов можно идентифицировать относительное расположение уровней и определить знак константы D . Знак D был определен из сравнения интенсивностей первой и третьей линий тонкой структуры для $H_0 \parallel z$ при $T = 4.2$ и 290 К. При $T = 4.2$ К интенсивность третьей линии вдвое больше интенсивности первой линии, что говорит о положительном знаке константы D .

На рис. 3 проиллюстрирована форма потенциала кристаллического поля для $\text{Li}_{0.5}\text{Ga}_2.5\text{O}_4 + 0.1\% \text{Cr}^{3+}$ в месте расположения иона трехвалентного хрома вокруг кристаллографической оси $[111]$. Приведены три минимума для каждой оси. Наблюдается двенадцатиминимумность потенциала кристаллического поля исследуемой шпинели. Магнитное поле H_0 параллельно главной магнитной оси z иона. Расстояние R отложено в относительных единицах, так как концентрация ионов хрома мала и расстояния между ионами в элементарных ячейках различны.

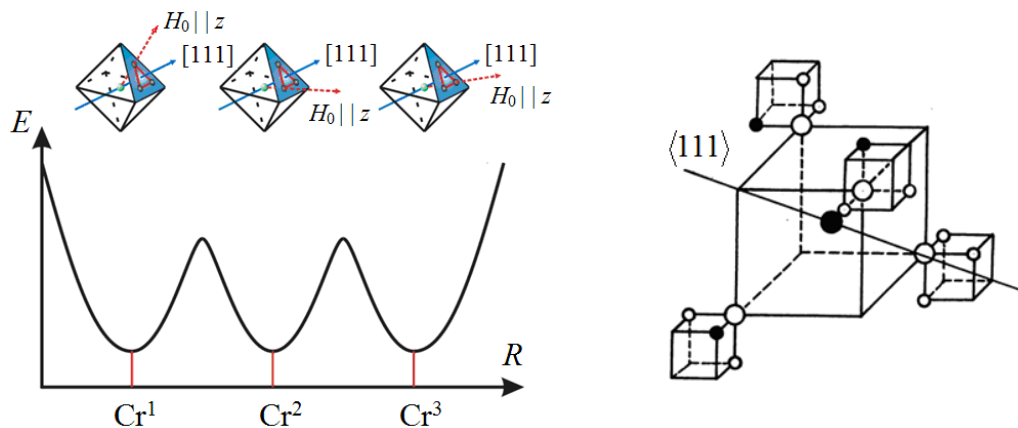


Рис. 3. Форма потенциала кристаллического поля E шпинели $\text{Li}_{0.5}\text{Ga}_2.5\text{O}_4 + 0.1\% \text{Cr}^{3+}$ в местах расположения трехвалентного хрома вблизи кристаллографической оси типа $[111]$

Рис. 4. Первое и второе окружения иона Cr^{3+} , находящегося в тетраэдре монокристалла $\text{Li}_{0.5}\text{Ga}_2.5\text{O}_4$: \circ – ионы Ga^{3+} , \bullet – Li^+ , \bigcirc – ионы кислорода. Масштаб кубов второго окружения уменьшен

Ближайшее окружение магнитного иона Cr^{3+} в шпинели $\text{Li}_{0.5}\text{Ga}_2.5\text{O}_4$ состоит из первой координационной сферы в виде ионов кислорода (рис. 4). Это окружение создает поле кубической симметрии, в которое вносятся аксиальные искажения ионами Ga^{3+} и Li^+ во второй координационной сфере.

Полученные результаты являются неожиданными, поскольку предполагалось наличие 4 магнитно-неэквивалентных положений ионов Cr^{3+} в элементарной ячейке шпинели согласно четырем осям типа $[111]$. Тонкая структура спектра ЭПР иона Cr^{3+} для одной позиции состоит из трех линий согласно спину $S = 3/2$. Поэтому ожидался спектр ЭПР, состоящий из 12 линий. Однако наблюдался спектр из 36 линий. Дополнительный спектр связан с дополнительными магнитно-неэквивалентными положениями ионов Cr^{3+} в элементарной ячейке литий-галлиевой шпинели (всего 12) из-за второй координационной сферы (рис. 4).

Заключение

Описанная самоорганизация в элементарной ячейке монокристалла шпинели и самораспределение допируемых ионов хрома Cr^{3+} по неэквивалент-

ным положениям происходят во время роста монокристалла в результате предпочтения иона занимать определенное положение в элементарной ячейке относительно кристаллографических осей. Магнитные ионы Cr^{3+} располагаются в 12 минимумах потенциала кристаллического поля и равномерно распределяются по образцу (см. рис. 3).

При введении ионов Cr^{3+} в матрицу $\text{Li}_{0.5}\text{Ga}_{2.5}\text{O}_4$ последние занимают октаэдрические узлы, так как спектр легко наблюдается при комнатной температуре, анизотропия g -фактора очень мала. Эти факты говорят о том, что нижним уровнем энергии является орбитальный синглет. Поскольку нижним уровнем энергии является орбитальный синглет, а расстояние до вышележащего триплетного уровня достаточно велико ($\sim 10^4 \text{ cm}^{-1}$), то предполагалось, что спектр будет наблюдаться при довольно высоких температурах, а анизотропия фактора спектроскопического расщепления будет небольшой.

В октаэдрических узлах ионы Cr^{3+} вероятнее всего замещают ионы Ga^{3+} , а не ионы Li^+ по следующим соображениям:

- 1) имеет место близость характеристических расстояний ионов Cr^{3+} и Ga^{3+} ;
- 2) не требуется зарядовой компенсации;
- 3) симметрия электрического кристаллического поля для ионов Li^+ является аксиальной, а для Ga^{3+} – ромбической.

В соответствии с указанными соображениями можно также считать, что при замещении ионов Ga^{3+} ионами Cr^{3+} не должно происходить заметного искажения решетки и что данные кристаллического поля, в котором находится ион Cr^{3+} , довольно близки к истинному кристаллическому полю в октаузле Ga^{3+} в монокристаллах упорядоченной шпинели $\text{Li}_{0.5}\text{Ga}_{2.5}\text{O}_4$.

Работа выполнена при поддержке гранта РФФ 20-19-00-745.

Выражаем глубокую благодарность руководящему и преподавательскому составу организации «Математика для Америки» (Math for America), в особенности профессору Джону Эвингу (Prof. John Ewing) как вдохновителю, мисс Кортни Эллисон (Ms. Courtney Allison) и мистеру Майклу Дрискиллу (Mr. Michael Driskill) за поддержку.

1. *Е.В. Гольева*, Дис. ... канд. хим. наук, Санкт-Петербургский политехнический университет Петра Великого, Санкт-Петербург (2017).
2. *С.С. Князева*, Дис. ... канд. хим. наук, Национальный исследовательский Нижегородский гос. университет имени Н.И. Лобачевского, Нижний Новгород (2015).
3. *L. Maigny, M. Dupont*, Spinels: Occurrences, Physical Properties and Applications, Nova Science Publishers, Inc, New York, USA (2013).
4. *I. Ganesh*, Int. Mater. Rev. **58**, 63 (2013).
5. *Y. Zou, S. Gréaux, T. Irifune, B. Li, Y. Higo*, J. Phys. Chem. **C117**, 24518 (2013).
6. *M. Li, D. Li, M. O'Keeffe, O.M. Yaghi*, Chem. Rev. **114**, 1343 (2014).
7. *S. Chen, Y. Wu, P. Cui, W. Chen, X. Chen, Z. Wu*, J. Phys. Chem. **C117**, 25019 (2013).
8. *А. Абрагам, Б. Блини*, Электронный парамагнитный резонанс переходных ионов, Т. 1, Мир, Москва (1972).

9. М.М. Зарипов, Л.Я. Шекун, в сб.: Парамагнитный резонанс, Изд-во Казан. ун-та, Казань (1964), вып. 2, с. 5.
10. J.W. Orton, Electron Paramagnetic Resonance, London (1968).
11. В. Лоу, Парамагнитный резонанс в твердых телах, Изд-во иностр. лит., Москва (1962).

*V.V. Shapovalov, V.A. Shapovalov, V.I. Valkov, V.G. Shavrov, V.V. Koledov,
Yu.A. Sluzhbin, O.N. Potapskaya*

SELF-ORGANIZATION OF THE SINGLE-CRYSTAL SPINEL OF $\text{Li}_{0.5}\text{Ga}_{2.5}\text{O}_4$ AND THE DISTRIBUTION OF $3d^3$ -IONS OF CHROMIUM

Self-organization is demonstrated in a unit cell of 12 structurally and magnetically non-equivalent positions and self-distribution of magnetic ions of chromium over these positions according to the minima of the crystal field potential in single-crystal lithium-gallium spinel $\text{Li}_{0.5}\text{Ga}_{2.5}\text{O}_4$ is described. It is found that magnetically non-equivalent positions of a magnetic ion are revealed in the spectra of electron paramagnetic resonance (EPR).

Keywords: electron paramagnetic resonance, single-crystal spinel, complexes with magnetic ions

Fig. 1. Angular dependence of the EPR spectrum of Cr^{3+} with the spin $S = 3/2$ in $\text{Li}_{0.5}\text{Ga}_{2.5}\text{O}_4$ in $\{z-y\}$ plane for a single position at $T = 290$ K, $\nu = 36200$ MHz

Fig. 2. Location of magnetic axes x, y, z of Cr^{3+} in $\text{Li}_{0.5}\text{Ga}_{2.5}\text{O}_4$ with respect to crystallographic axes $[111], [110], [112]$

Fig. 3. Shape of the crystal field potential E in $\text{Li}_{0.5}\text{Ga}_{2.5}\text{O}_4 + 0.1\% \text{Cr}^{3+}$ at the location of three-valence chromium in the vicinity of crystallographic axis $[111]$

Fig. 4. The first and the second neighbors of Cr^{3+} ion located in a tetra-node of single-crystal $\text{Li}_{0.5}\text{Ga}_{2.5}\text{O}_4$: \circ – ions of Ga^{3+} , \bullet – Li^+ , \bigcirc – oxygen ions. The scale of the cubes of the second neighborhood is reduced